



Fot. 1. Widok na nawierzchnię na kładce.



Fot. 2. Widok kładki z boku od strony północnej.



Fot. 3. Widok od spodu kładki.



Fot. 4. Widok na podporę kładki od strony pałacu – typowy widok podpór.



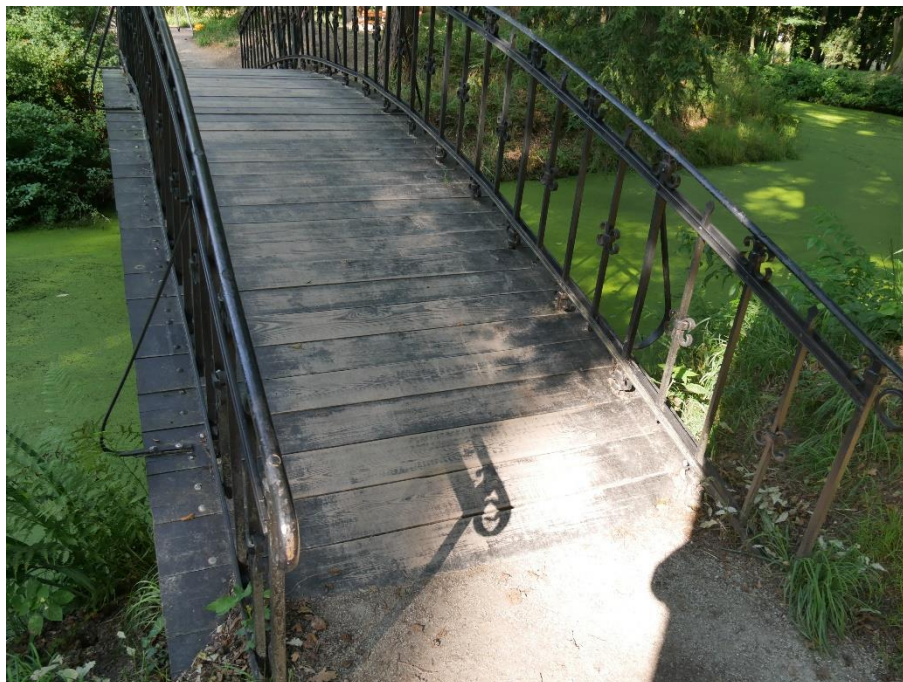
Fot. 5. Nawierzchnia na kładce.

Widoczne niewielkie odkłady zanieczyszczeń w linii balustrady oraz szacunkowo w 70% starta powłoka ochronna nawierzchni – typowy wygląd drewnianej nawierzchni kładki



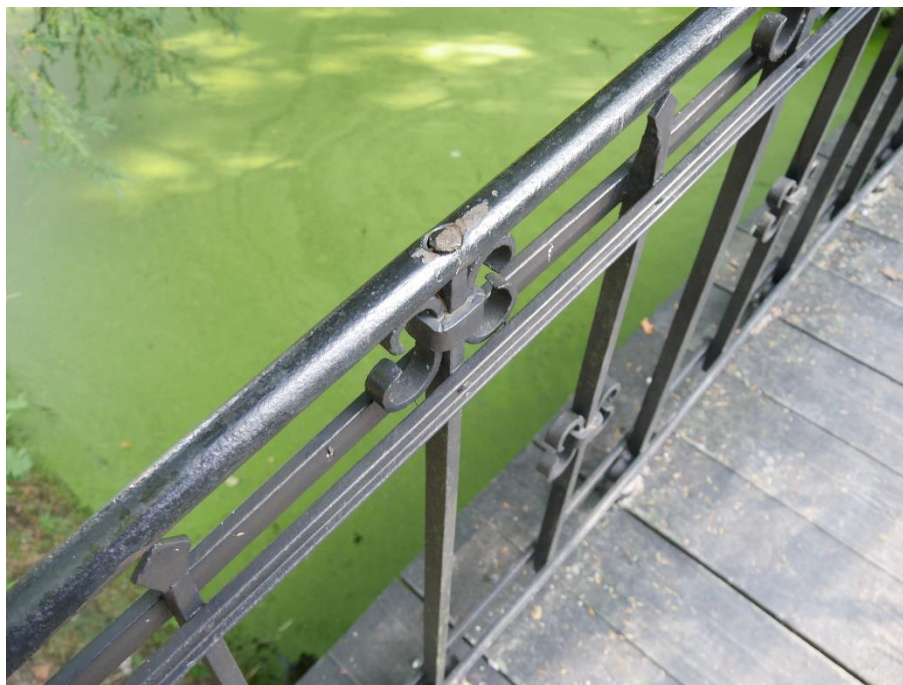
Fot. 6. Nawierzchnia kładki – widok z boku

Progi do 0,5 cm pomiędzy sąsiednimi deszczułkami – nierówności dotyczą do około 10% desek pomostu



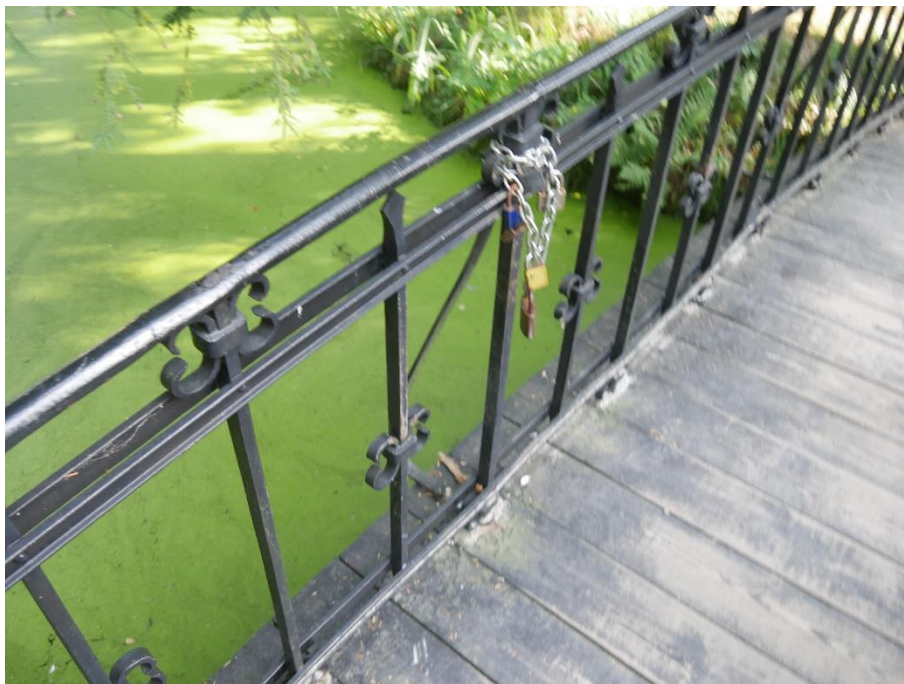
Fot. 7. Nawierzchnia kładki w obrębie podpory od strony pałacu (podpora 1)

Gruba warstwa zanieczyszczeń na skrajnych elementach nawierzchni w obrębie podpory – podobna sytuacja nad przeciwną podporą. Zanieczyszczenia akumulują wilgoć, co przyczyni się do szybkiego gnicia desek



Fot. 8. Balustrada północna

Lokalne drobne ubytki powłoki ochronnej balustrady. Balustrada była odnawiana i jedynie można powiedzieć incydentalnie posiada niewielkie ubytki powłoki ochronnej



Fot. 9. Balustrada północna w środku rozpiętości przęsła

Zawieszone kłódki z łańcuchami na elementach balustrady, w innych lokalizacjach można doszukać się jeszcze kilka takich elementów – kłódki zawieszają młode zakochane pary przysięgające sobie trwałą związek. Z punktu widzenia trwałości konstrukcji zawieszane kłódki często z innych stopów stali są przyczyną korozji galwanicznej



Fot. 10. Pomost i ustrój nośny od spodu kładki

Zanieczyszczenia organiczne na spodniej powierzchni pomostu oraz na elementach stalowych, szczególnie na blachach węzłowych, gdzie występują również siedliska ptactwa leśnego



Fot. 11. Dźwigar prawy z naniesionymi symbolami oznaczającymi asortyment i pochodzenie dźwigara



Fot. 12. Dźwigar południowy widoczny od zewnątrz

Zanieczyszczenia i wegetacja glonów na dolnej półce dźwigara – typowy wygląd zewnętrznej powierzchni dźwigarów



Fot. 13. Dźwigar południowy

Widoczne znaczne ubytki korozyjne pólki górnej dźwigara – obecnie korozja zastopowana. Przyczyną mógł być słabej jakości poprzedni pomost, który akumulował wilgoć przyczyniając się do powstawania ognisk korozyjnych



Fot. 14. Blacha węzłowa połączenia dźwigara ze stężeniem poprzecznym

Widoczne zanieczyszczenia i lokalnie występujące ogniska korozyjne w miejscach połączeń – typowy wygląd blach węzłowych



Fot. 15. Stężenie poprzeczne podporowe nad podporą po stronie wyspy miłości (podpora 2)
Odkłady zanieczyszczeń i postępująca korozja stężenia



Fot. 16. Podparcie dźwigara południowego na podporze 2
Zaawansowana korozja wżerowa środnika dźwigara z dużymi ubytkami perforacyjnymi – powodem odkłady zanieczyszczeń i stale utrzymująca się wilgoć.



Fot. 17. Podpora 2

Znaczne odkłady zanieczyszczeń na podporze, szczególnie w punktach podparć przyczyniające się do korozji elementów stalowych, gnicia chodnika drewnianego, jak również destrukcji betonowych podpór – typowy wygląd podpory



Fot. 18. Otoczenie kładki po północnej stronie podpory 2

Wegetacja roślin w bezpośrednim otoczeniu kładki przyczyną gromadzenia się zanieczyszczeń i utrzymywania się wilgoci na elementach kładki.